

IoT 보안 에너지 효율 최대화를 위한 UAV 기반 SWIPT 시스템 디자인

하대한, 강진규*

한국과학기술원, *명지대학교

coremerom@kaist.ac.kr, *jkkang@mju.ac.kr

Design for Secure IoT Energy Efficiency Maximization for UAV-based SWIPT

Dae Han Ha, Jin Kyu Kang*

Korea Advanced Institute of Science & Technology (KAIST), *Myongji Univ.

요 약

본 논문에서는 IoT 단말들을 위한 SWIPT(Simultaneous Wireless Information and Power Transfer)시스템에서 SEE(Secrecy Energy Efficiency)를 극대화하기 위해 보안 무인항공기(UAV)의 도움을 기반한 시스템 디자인을 제안한다. 이를 위해 기지국과 UAV의 전송 전력, 배터리 제한 IoT 단말의 EH(Energy Harvesting) 전력 분할 비율, UAV의 궤적을 공동 최적화하는 SEE 최대화 문제를 공식화하고 솔루션을 제안하며 그 타당성과 효율성은 시뮬레이션 결과를 통해 확인된다.

I. 서 론

최근 무인항공기(UAV)는 높은 이동성, 저렴한 설치 비용, 배터리 제한이 있는 스마트 기기가 널리 보급된 배포 유연성 덕분에 사물 인터넷(IoT) 네트워크에 주목받고 있다 [1]. 특히, UAV는 운용 능력 하에 자유롭게 비행할 수 있으므로 헬퍼 노드로서 물리 계층 보안성 향상에 적합하다. 이러한 이유로 UAV는 물리 계층 보안을 향상시키기 위해 도우미 노드 [2] 및 방해 전파 [3]로 활발히 연구되었다. 또한, 에너지 제약이 있는 IoT 장치의 경우 무선 전력 전송(WPT) 기술이 효과적이고 매력적인 솔루션이 되며 UAV 및 송신기의 무선 신호를 통해 에너지를 수확하는 UAV 지원 IoT 네트워크에서 이점이 더욱 두드러진다. UAV 기반 SWIPT(Wireless Information and Power Transfer) 통신은 비상 대응을 위한 IoT 네트워크를 구성하기 위해 [4]에서 제안된다. 이전 작업 [4]은 EE 관점이 아니라 UAV의 에너지 예산에서 사용자의 처리량 또는 보안률에 중점을 둔다.

이전 연구의 한계에 자극을 받아 기지국(Alice 또는 A)이 UAV를 헬퍼 노드로 사용하여 지상의 에너지 제약 IoT 장치(Bob 또는 B)를 지원하고 수동 Eve가 존재하는 네트워크를 고려한다. 이를 위해 네트워크 장치의 기능적 제약 조건(예: 최대 속도, 평균)에서 Alice의 전송 전력, UAV의 전송 전력, Bob의 EH(Energy Harvesting) 전력 분할 비율 및 UAV의 궤적을 공동으로 최적화하여 SEE 최대화 문제를 공식화한다. 전력 및 피크 전력, 공식화된 문제를 해결하기 위해 SCA(연속 볼록 근사) 및 Dinkelbach의 알고리즘을 기반으로 원래의 비볼록 문제의 로컬 최소값으로 수렴하도록 보장된 효율적인 반복 알고리즘을 개발하고 시뮬레이션 결과를 통해 검증한다.

II. 시스템 모델 및 최적화 문제

본 논문은 UAV 지원 보안 SWIPT 시스템을 고려한다. 이때, Alice는 UAV의 도움으로 Bob에게 기밀 정보를 전송하고 수동적인 Eve는 도청을 시도한다. 미터 단위로 좌표를 측정하는 3차원 데카르트 좌표계를 사용한다. Alice, Bob, Eve가 각각 $i \in \{A, B, E\}$ 인 $L_i = [x_i, y_i, 0]^T$

위치에 있다고 가정한다. 반면에 UAV는 고도가 H 고 비행 기간이 T 로 충분히 작은 시간 $t_s = T/N$ (s)으로 N 개의 시간 슬롯으로 이산화된다고 가정한다. 이때, 궤적은 $L_U[n] = [x_U[n], y_U[n], H]^T$, $n = 1, \dots, N$ 로 표현된다. 또한, 초기 및 최종 위치, 최대 속도는 각각 $L_{U,I} = [x_{U,I}, y_{U,I}, H]^T$ 와 $L_{U,F} = [x_{U,F}, y_{U,F}, H]^T$, v_{max} 로 표현된다. 이를 통해, UAV의 이동성 제약 조건은 아래와 같다.

$$\|L_U[n] - L_U[n-1]\| \leq v_{max} t_s, \quad n = 1, \dots, N \quad (1)$$

$$L_U[0] = L_{U,I}, \quad L_U[N] = L_{U,F}, \quad (2)$$

UAV는 Alice가 UAV에 보안 메시지 전송을 TDD(Time Division Duplex) 방식으로 작동한다고 가정한다. 이를 통해, UAV는 Bob의 EH 동작을 지원하면서 보안률을 향상시키려는 시도와 함께 디코딩된 메시지를 Bob에게 전달한다. 여기서 [6]의 SWIPT 프로토콜 설계에 따라 Bob에서 수신된 신호 전력은 데이터 통신을 위한 전력의 일부 w 와 EH를 위한 나머지 부분 $(1-w)$ 로 두 가지 유형의 전력 스트림으로 분할된다.

UAV와 지상 노드 사이 채널, 즉 UAV와 Alice, Bob 및 Eve는 가시선(LOS) 링크로 가정한다. 이때, n 번째 슬롯에서 채널 UAV와 노드 사이의 이득은 $h_{Uj}[n] = \rho_0 d_{Uj}[n]^{-2} = \rho_0 / (|L_U[n] - L_j|^2 + H^2)$, $j \in \{A, B, E\}$ 이다. 여기서 $d_{Uj}[n]$ 은 각 노드 i 와 j 사이의 거리이고 ρ_0 는 기준 거리 $d_0 = 1m$ 에서 채널의 이득을 나타냅니다. Alice에서 Bob 및 Eve 사이의 지상 채널은 $g_{Aj}[n] = \rho_0 d_{Aj}^2 \zeta_j$ 의해 정의된다. 여기서, ζ_j 는 exponential 분포를 갖는 랜덤 변수이다. t_s 는 채널의 일관성 시간보다 훨씬 작은 것으로 가정되므로 채널은 각 시간 슬롯 내에서 고정되고 에르고딕하다고 가정한다.

시간 슬롯 n 에서 속도 $v[n]$ 을 갖는 UAV에 대한 주울(J) 단위의 블레이드 프로파일, 유도 및 기생 전력으로 구성된 추진 에너지 소비 $E_P[n]$ 은 다음과 같이 모델링 될 수 있다.

$$E_P[n] = t_s(P_0 \phi[n] + P_i \psi^2[n] + \frac{1}{2} d_0 \rho_s A v^3[n]) \quad (3)$$

여기서, $\phi[n] = 1 + 3v^2[n]/U_{tip}^2$, $\psi[n] = (1 + v^4[n]/4v_0^4)^{1/2} - v^2[n]/2v_0^2$; P_0 , P_i , v_0 , U_{tip} 는 각각 블레이드 프로파일 전력, 유도 전력, UAV가 공중에 떠 있을 때의

평균 rotor 속도, UAV rotor 블레이드의 팁 속도를 나타낸다. 더하여서, 통신 에너지 소비는 추진 에너지보다 훨씬 작기 때문에 SEE 계산을 위한 통신 에너지 소비를 무시한다고 가정한다.

Eve 가 보안 정보를 가로채고 있다는 가정하에 Alice 와 Bob 사이의 보안 전송률 $R_s[n]$ 은 아래와 같이 표현될 수 있습니다. [6]

$$R_s[n] = [R_{AB}[n] - R_{AE}[n]]^+ \quad (4)$$

여기서, $[x]^+ \triangleq \max(x, 0)$, $R_{AB}[n] = \log_2(1 + w g_{AB} P_A[n] / \sigma_B^2 + \min(h_{AU}[n] P_A[n] / \sigma_U^2, w h_{UB}[n] P_U[n] / \sigma_B^2))$, $R_{AE}[n] = \log_2(1 + g_{AE} P_A[n] / \sigma_E^2 + h_{UE}[n] P_U[n] / \sigma_E^2)$ 이다. 그리고, σ_B^2 와 σ_U^2, σ_E^2 는 각각 Bob, UAV, Eve의 잡음전력을 나타낸다.

본 논문의 목표는 Alice와 UAV의 전송 전력 제약 조건, Bob의 수확 에너지 제약 조건, UAV에 대한 비행 제약 조건을 만족하면서 SWIPT 시스템의 SEE를 최대화하는 것이다. 이를 위해 (4)의 보안 전송률 $R_s[n]$ 과 (3)의 UAV 비행 에너지 소비 $E_p[n]$ 간 비율인 SEE를 아래와 같이 정의할 수 있다.

$$SEE(P_A, P_U, w, L_U) = \frac{B \sum_n R_s[n]}{\sum_n E_p[n]} \quad (\text{bits/J}) \quad (5)$$

여기서, Alice의 송신 전력 $P_A \triangleq \{P_A[n]\}_{n=1}^N$, UAV의 전력 $P_U \triangleq \{P_U[n]\}_{n=1}^N$, 전력 분할 비율 w , UAV의 궤적 $L_U = \{L_U[n]\}_{n=1}^N$, 그리고 B 는 시스템 대역폭을 나타낸다. 이를 기반으로 앞서 설명한 최적화 문제를 다음과 같이 공식화할 수 있다.

$$\max_{P_A, P_U, w, L_U} SEE(P_A, P_U, w, L_U) \quad (6a)$$

$$\text{s.t.} \quad \frac{1}{N} \sum_{n=1}^N (g_{AB} P_A[n] + h_{UB}[n] P_U[n]) (1-w) \eta \geq \varphi \quad (6b)$$

$$0 \leq \frac{1}{N} \sum_{n=1}^N P_A[n] \leq P_A^{avg} \leq P_A^{max} \quad (6c)$$

$$0 \leq \frac{1}{N} \sum_{n=1}^N P_U[n] \leq P_U^{avg} \leq P_U^{max} \quad (6d)$$

$$(1) \text{ and } (2) \quad (6e)$$

(6b)에서 η 가 에너지 변환 효율이고 φ 가 Bob의 전력 임계값인 EH 제약 조건을 나타내고 (6c)와 (6d) 제약 조건은 각각 Alice와 UAV 전송 전력의 평균 전력 및 최대 전력 제약 조건을 나타낸다. 문제(6)은 목적 함수(6a)가 최적화 변수에 대해 공동으로 non-convex 함수이다. 따라서, 이 문제를 해결하기 위해 효율적인 반복 알고리즘을 개발하여 로컬 최적 솔루션을 얻을 수 있다. 구체적으로, 제안된 알고리즘의 각 반복마다 문제(6)를 세 개의 하위 문제로 나눌 수 있다. 즉, 1) 고정 w 및 L_U 로 P_A 및 P_U 를 최적화한다. 2) 고정된 P_A 및 P_U, L_U 로 w 를 최적화한다. 3) 다른 하나는 고정된 P_A, P_U 및 w 로 L_U 를 최적화한다.

III. 시뮬레이션 결과 및 결론

그림 1. (a)는 최적화된 SEE를 임무시간 T 의 함수로 나타낸 것으로, 제안한 알고리즘은 벤치마크 곡선보다 우수하며 OptP&T/NEH의 경우와 유사하다. 또한, Eve가 가깝기 때문에 주어진 기한이 충분하지 않은 OptEH/EP< 및 OptT&EH/EP와 같은 전력 최적화가 없는 경우에 대해 SEE가 0일 가능성이 있다. 그림 1. (b)는 최적화 문제(6)에서 해결된 최적의 무인항공기의 궤적을 나타낸다. 임무시간이 충분하면 UAV는 그림 2(b)와 같이 Eve에 대해 비행하고 Bob에 더 가깝게 비행하여 SEE를 최대화하려고 시도한다.

Table 1. 시뮬레이션 파라미터

| | | | |
|-------------------|-----------------------------------|--|-------------------|
| $L_A/L_B/L_E$ | $(0,0,0)/(100,200,0)/(200,100,0)$ | P_U^{avg} | 20 dBm |
| $L_{U,I}/L_{U,F}$ | $(-100,0,20)/(300,0,20)$ | P_U^{max} | 26 dBm |
| H | 20 (m) | B | 1 MHz |
| v_{max} | 3 (m/s) | $\sigma_B^2 = \sigma_E^2 = \sigma_U^2$ | -110 dBm |
| ρ_0 | -60 dB | η | 0.7 |
| P_A^{avg} | 30 dBm | φ | -90 dBm |
| P_A^{max} | 36 dBm | λ/ϵ | $10^{-4}/10^{-4}$ |

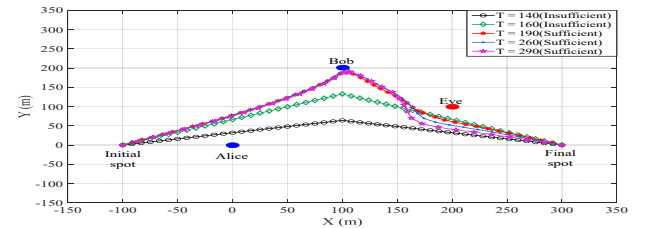
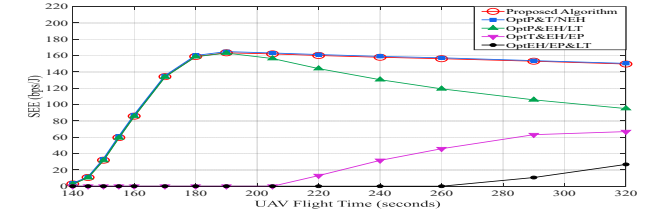


그림 1. (a) 임무 시간에 따른 SEE 비교 (b) 제한한 기법에 따른 UAV의 궤적 (최대 속도 3m/s).

본 논문에서는 UAV 기반 보안 SWIPT 통신 시스템을 제안한다. SEE 최대화를 목표로 Alice와 UAV의 전송 전력, Bob에서의 EH 운용을 위한 전력 분할 비율, UAV의 비행 궤적에 대한 공동 최적화 문제를 공식화한 다음 반복 알고리즘을 통해 해결하였다. 제안된 성능은 벤치마크 방식과 비교한 시뮬레이션 결과로 검증된다.

ACKNOWLEDGMENT

이 성과는 정부(과학기술정보통신부)의 재원으로 한국연구재단의 지원을 받아 수행된 연구임 (No. NRF-2021R1F1A1050734).

참고 문헌

- [1] N. H. Motlagh, T. Taleb, and O. Arouk, "Low-altitude unmanned aerial vehicles-based Internet of Things services: Comprehensive survey and future perspectives," IEEE Internet of Things Jour., vol. 3, no. 6, pp. 899-922, Dec. 2016.
- [2] G. Zhang, Q. Wu, M. Cui, and R. Zhang, "Securing UAV communications via joint trajectory and power control," IEEE Trans. Wireless Commun., vol. 18, no. 2, pp. 1376-1389, Feb. 2019.
- [3] M. Cui, G. Zhang, Q. Wu, and D. W. K. Ng, "Robust trajectory and transmit power design for secure UAV communications," IEEE Trans. Veh. Technol., vol. 67, no. 9, pp. 9042-9046, Sep. 2018.
- [4] W. Feng, J. Tang, Y. Yu, J. Song, N. Zhao, G. Chen, K.-K. Wong, and J. Chambers, "UAV-enabled SWIPT in IoT networks for emergency communications," IEEE Trans. Wireless Commun., vol. 27, no. 5, pp. 140-147, Oct. 2020.
- [5] X. Sun, W. Yang, Y. Cai, Z. Xiang, and X. Tang, "Secure transmissions in millimeter wave SWIPT UAV-Based relay networks," IEEE Wireless Commun. Lett., vol. 8, no. 3, pp. 785-788, Jun. 2019.
- [6] J. Mo, M. Tao, and Y. Liu, "Relay placement for physical layer security: A secure connection perspective," IEEE Commun. Lett., vol. 16, no. 6, pp. 878-881, Jun. 2012.